

# Meta-Materialien mit negativem Brechungsindex

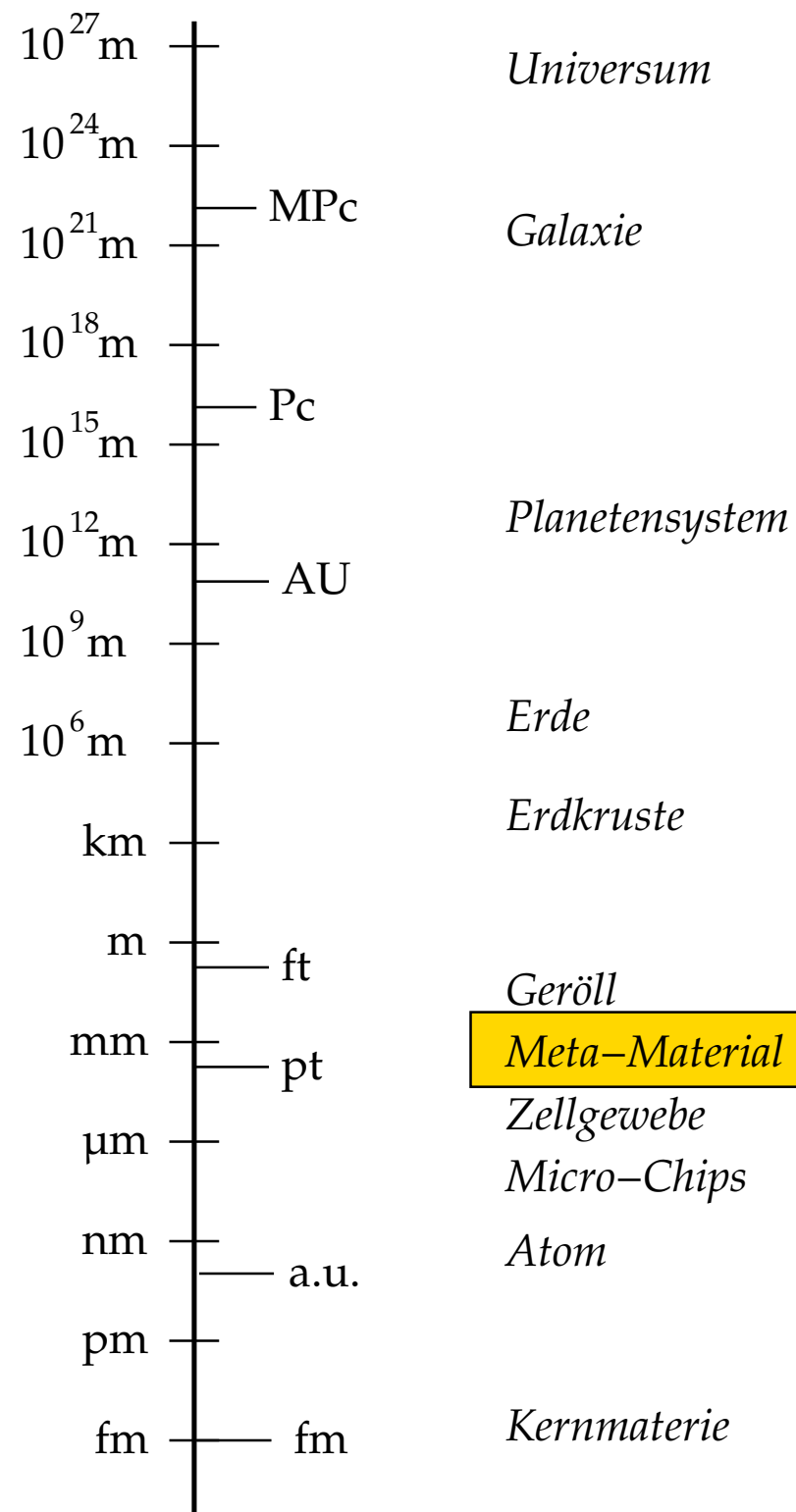
Carsten Henkel

*Probevorlesung, Potsdam 28. Mai 2004*



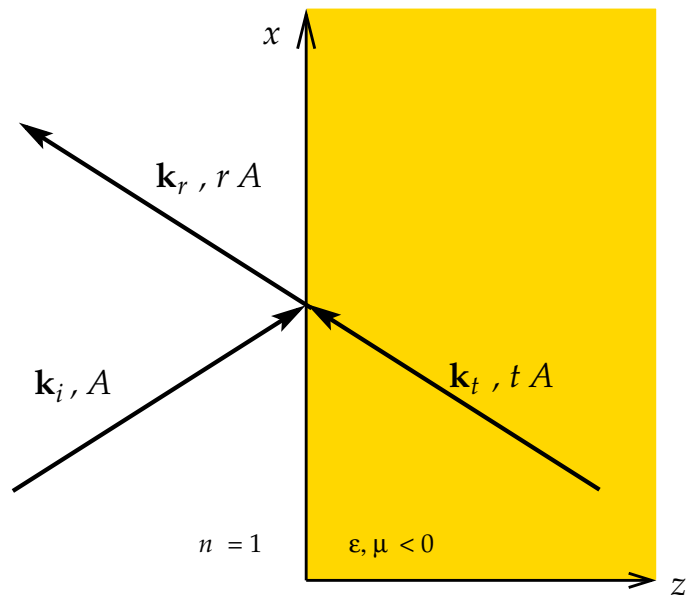
Institut für Physik, Universität Potsdam, Germany  
[www.quantum.physik.uni-potsdam.de](http://www.quantum.physik.uni-potsdam.de)







# Reflexion / Transmission



Stetigkeit von  $E_{x,y}$  und  $H_{x,y}$   
 $\Rightarrow$  Reflexionskoeffizient (in s-Polarisation)

$$r = \frac{k_{zn}/\mu - k_{z1}}{k_{zn}/\mu + k_{z1}}$$

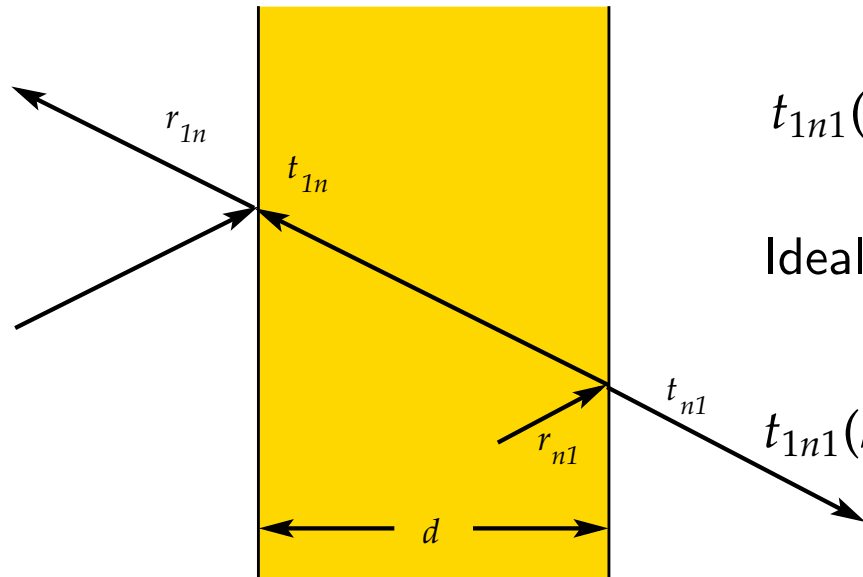
$$k_{z1} = \sqrt{\omega^2/c^2 - k_x^2}$$

$$k_{zn}^2 = \epsilon\mu\omega^2/c^2 - k_x^2$$

$$R = |r|^2 \leq 1, \quad \text{falls} \quad k_{zn}/\mu > 0 \quad \Leftrightarrow \quad k_{zn} < 0, \quad n = \sqrt{\epsilon\mu} < 0$$

$\rightarrow$  Animation

# Transmission durch Schicht



Zwei Grenzflächen  $\Rightarrow$  Transmission

$$t_{1n1}(k_x, d) = \frac{t_{1n} t_{n1} e^{ik_{zn}d}}{1 - r_{n1}^2 e^{2ik_{zn}d}}, \quad t_{n1} = 1 + r_{n1}$$

Ideale Bedingungen ( $\varepsilon = \mu = -1$ )

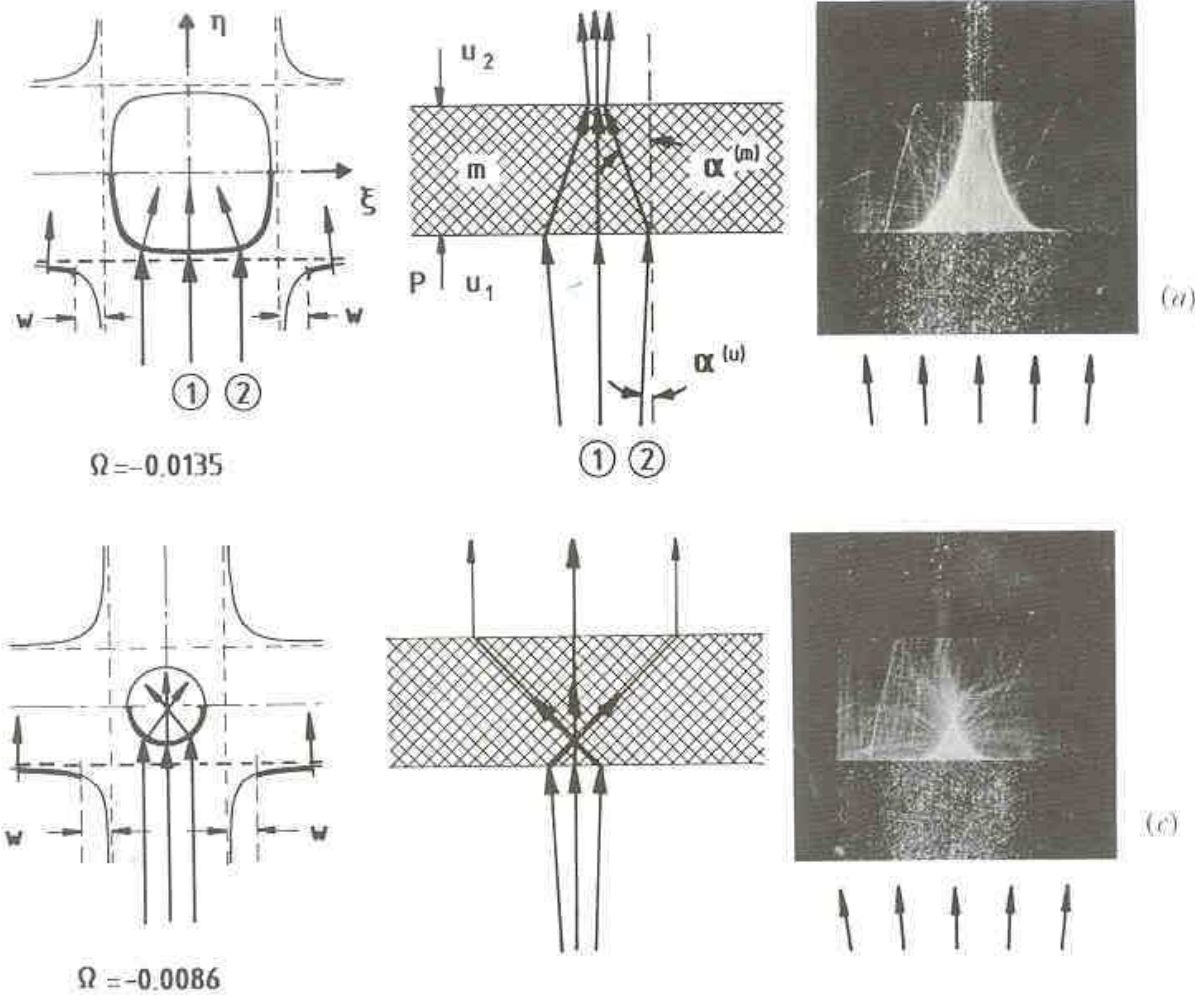
$$t_{1n1}(k_x, d) = \begin{cases} e^{ik_{zn}d} = e^{-ik_{z1}d}, & |k_x| \leq \omega/c \\ e^{-ik_{zn}d} = e^{-ik_{z1}d}, & |k_x| \geq \omega/c \end{cases}$$

(J. B. Pendry, Phys. Rev. Lett. 2000)

Weglänge  $d$  wird exakt kompensiert  $\Rightarrow$  Abstand  $2d$  zwischen Bild und Quelle

# Experiment: ebener Wellenleiter mit gekreuztem Liniengitter

(Remigius Zengerle, J. mod. Optics 1987)

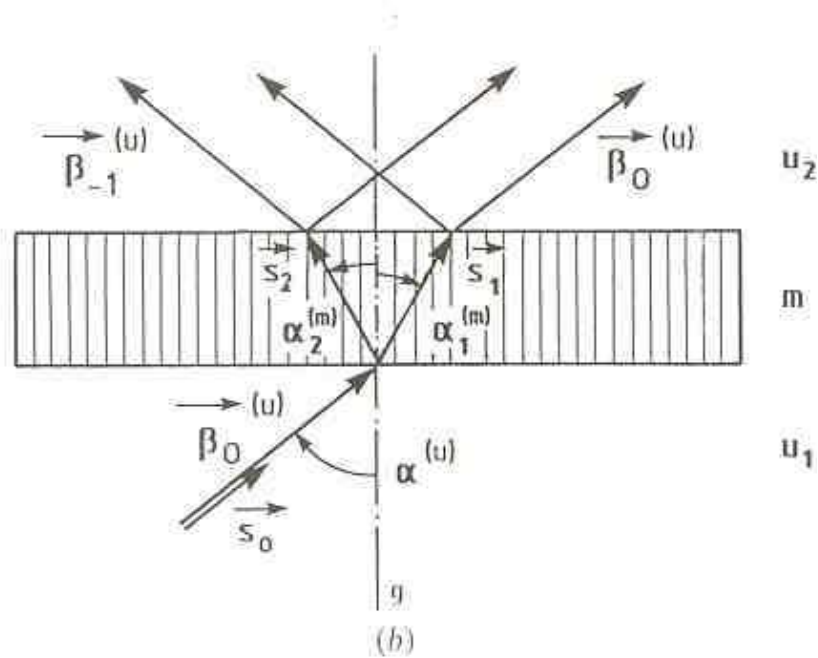


# Experiment: ebener Wellenleiter mit Liniengitter

(Remigius Zengerle, J. mod. Optics 1987)



(a)



(b)





# Simulation (+ Experiment): Drähte, Kondensatoren, Spulen (Mikrowellen)

(Grbic & Eleftheriades, Appl. Phys. Lett. 2003 + Phys. Rev. Lett. 2004)

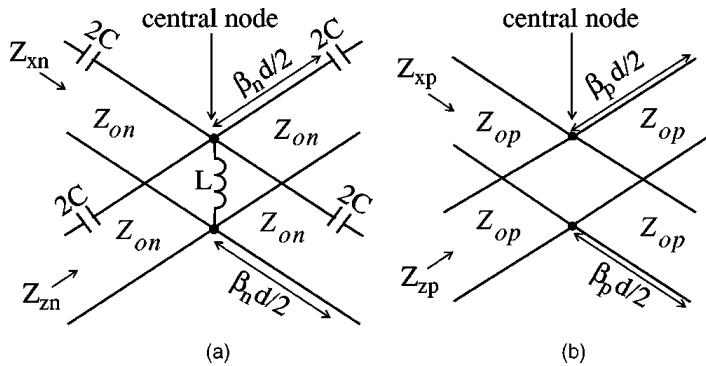


FIG. 1. TL unit cells. (a) Unit cell of dual TL structure (NRI medium) and (b) unit cell of TL mesh (PRI medium).

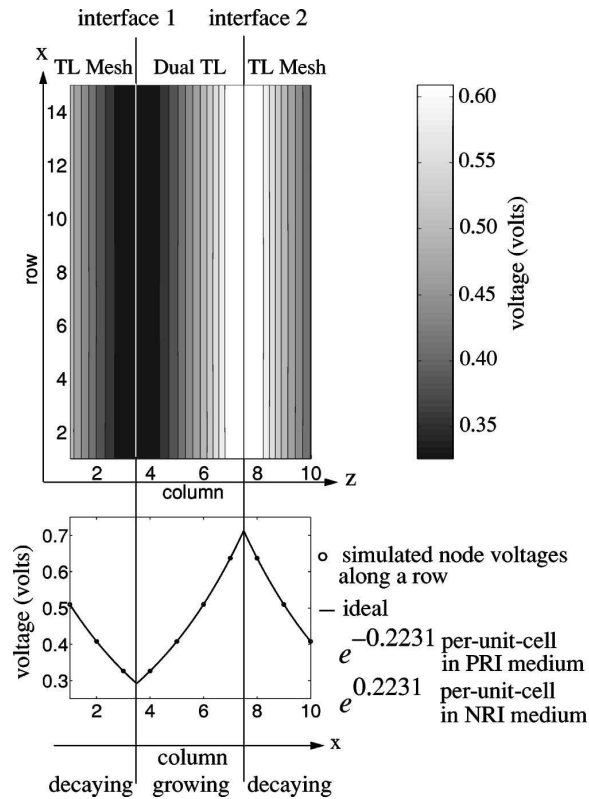


FIG. 3. Simulated voltage magnitudes for infinitely long interfaces (in the  $x$  direction).

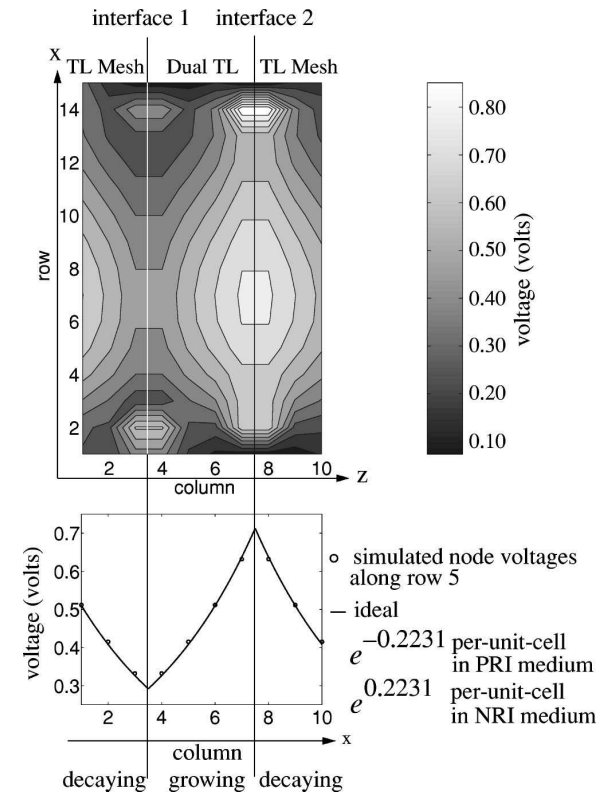
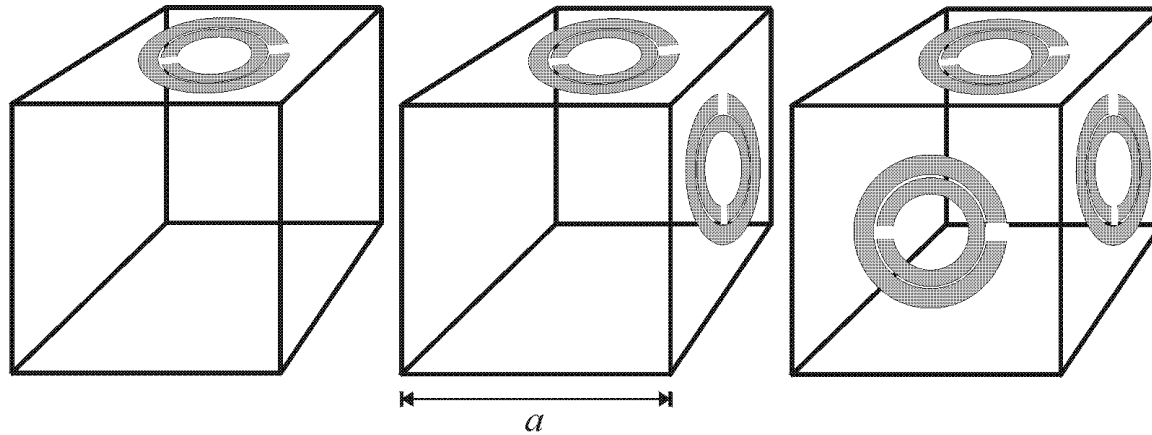


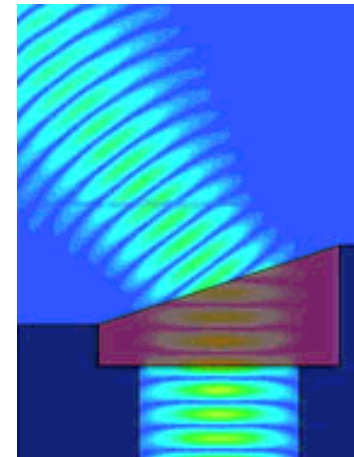
FIG. 4. Simulated voltage magnitudes for finite interfaces (in the  $x$  direction).

# Gitter aus Drähten und Ringen (Mikrowellen)

Pendry & al. 1999 + Experiment: Shelby, Smith & Schultz, Science 2001)



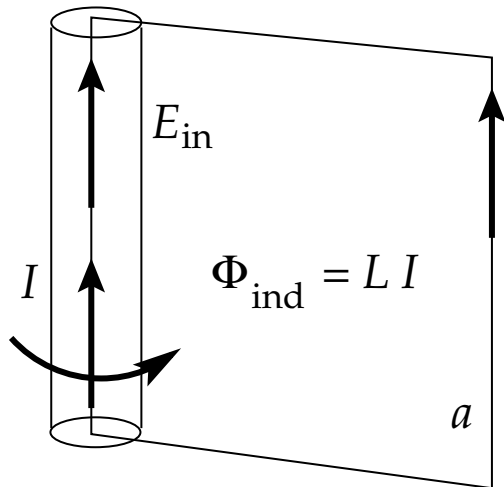
Struktur



Simulation

# Draht als Schaltkreis

emK entlang Schlaufe = – magnetische Flussänderung



$$RI - aE_{\text{out}} = -L \frac{dI}{dt} = i\omega LI$$

Widerstand  $R$ , Induktivität  $L$  (für Länge  $a$ )

Polarisationsstrom pro  
Volumen ( $\mathbf{j}_{\text{pol}} = \partial_t \mathbf{P}$ )

Volumen-gemitteltes Feld  
(dünner Draht)

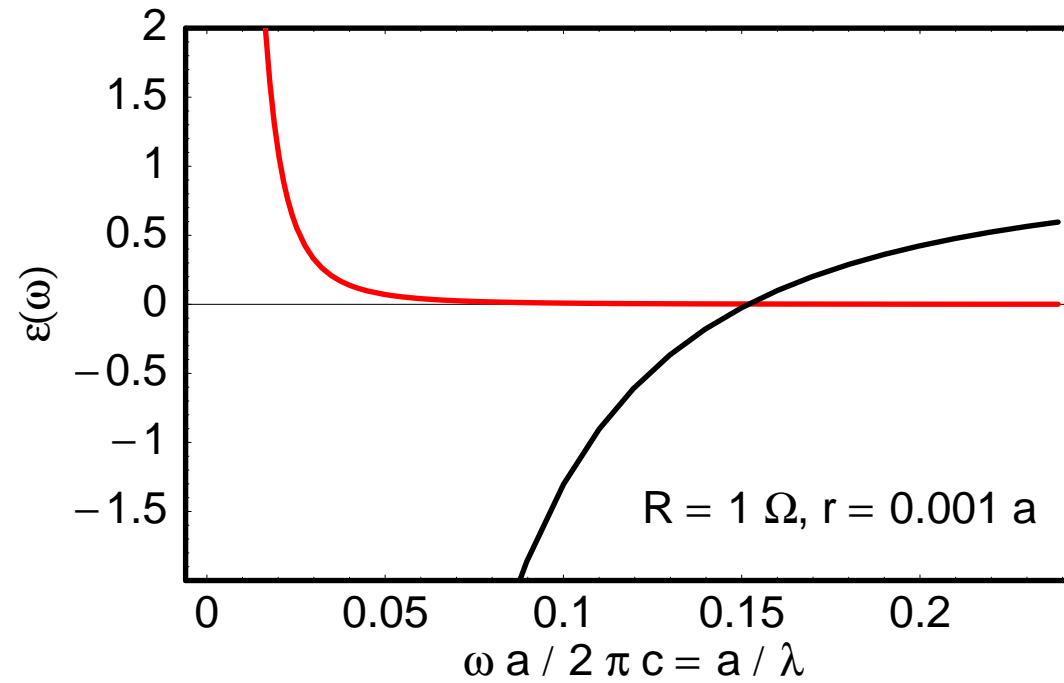
$$aI = -i\omega \bar{P} a^3$$

$$\bar{E} \approx E_{\text{out}}$$

$$\Rightarrow \quad \varepsilon = 1 - \frac{1/\varepsilon_0 a}{\omega^2 L + i\omega R}, \quad \Omega_{\text{eff}}^2 = \frac{c^2}{a^2} \frac{\mu_0 a}{L}$$

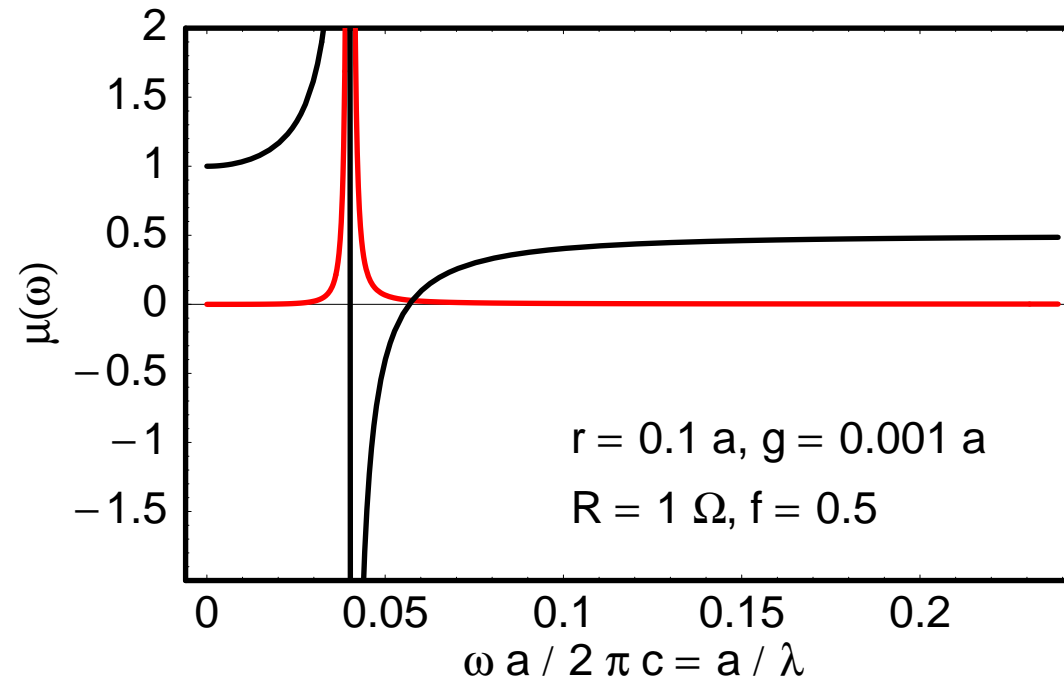
# Dünne Drähte: dielektrische Funktion

---



# Geschlitzte Ringe: Permeabilität

---



# Brechungsindex

---

